

# 高血压左心室肥厚患者血浆 miR-30a 表达的变化

潘伟, 赵娟, 杨泽福, 罗韶金, 黄景文

基金项目: 广东省医学科研基金立项课题(编号:A2014712)

作者单位: 528200 广东,南方医科大学附属南海医院 佛山市南海区人民医院心内科(潘伟,杨泽福,罗韶金,黄景文),超声科(赵娟)

作者简介: 潘伟(1977-),男,医学博士,副教授,副主任医师,研究方向:心血管疾病基础与临床研究。E-mail:weipan1977@163.com

**[摘要]** **目的** 观察高血压左心室肥厚(LVH)人群中血浆 miR-30a 与 LVH 的关系,研究血浆 miR-30a 是否能作为高血压 LVH 患者临床诊断的标志物。**方法** 随机入选住院高血压患者中 73 例 LVH 患者和 77 例非 LVH 患者。行 real-time PCR 法检测血浆 hsa-miR-30a 的含量。用 ROC 曲线和 Pearson 相关性分析评价血浆 hsa-miR-30a 诊断高血压 LVH 的价值。**结果** LVH 组患者血浆 hsa-miR-30a 水平升高,患者血浆 hsa-miR-30a 水平的曲线下面积(AUC)为 0.932,血浆 hsa-miR-30a 水平用于诊断高血压 LVH 有意义。确定 hsa-miR-30a 判断高血压 LVH 的最佳临界点为  $7.267(2^{-\Delta ct} \times 10^4)$ ,敏感度和特异度分别为 94.5%、89.6%。Pearson 相关性分析表明,患者血浆 hsa-miR-30a 水平与室间隔厚度(IVSd)和左室后壁厚度(LVPWd)均呈正相关( $R$  值分别为 0.636 和 0.637, $P$  值均为 0.000)。**结论** 高血压 LVH 患者血浆 hsa-miR-30a 升高。血浆 hsa-miR-30a 水平与 IVSd 和 LVPWd 呈正相关,血浆 hsa-miR-30a 水平用于诊断高血压 LVH 有意义。

**[关键词]** 左心室肥厚; 高血压; miR-30a

**[中图分类号]** R 541.6 **[文献标识码]** A **[文章编号]** 1674-3806(2016)07-0568-03

doi:10.3969/j.issn.1674-3806.2016.07.03

**Plasma hsa-miR-30a expression on hypertension patients with left ventricular hypertrophy** PAN Wei, ZHAO Juan, YANG Ze-fu, et al. Department of Cardiovascular Disease, Nanhai Hospital Affiliated to Southern Medical University, Guangdong 528200, China

**[Abstract]** **Objective** To observe the correlation between plasma hsa-miR-30a and left ventricular hypertrophy(LVH) in hypertension patients and to study whether plasma hsa-miR-30a can be a diagnostic marker for patients with LVH or not. **Methods** Seventy-three cases with LVH were collected from the hypertensive patients as LVH group and 77 cases without LVH as the control group. The mRNA expression of hsa-miR-30a in the derived plasma was analyzed by real-time PCR. Evaluation of the sensitivity and specificity of hsa-miR-30a on the diagnosis of LVH was performed by analyzing the ROC curve. The association between plasma hsa-miR-30a level and ventricular wall thickness was assessed by Pearson correlation analysis. **Results** Compared with that in the control group, the level of hsa-miR-30a expression in LVH group was significantly higher [ $(5.16 \pm 0.31)(2^{-\Delta ct} \times 10^4)$  vs  $(14.28 \pm 0.92)(2^{-\Delta ct} \times 10^4)$ ,  $P=0.000$ ]. A receiver operating characteristic(ROC) curve showed that the areas under the curve(AUC) for the plasma level of hsa-miR-30a were 0.932. The optimal hsa-miR-30a cut-off value on receiver operating characteristic curve was  $7.267(2^{-\Delta ct} \times 10^4)$ . The corresponding cut-off points with sensitivity and specificity were 94.5% and 89.6%, respectively. Pearson correlation analysis indicated that the level of hsa-miR-30a expression in plasma was positively associated with IVSd and LVPWd ( $R=0.636$  and  $0.637$ ,  $P=0.000$  and  $0.000$ , respectively). **Conclusion** Plasma hsa-miR-30a is elevated in hypertension patients with LVH and positively associated with left ventricular wall thickness. Elevated plasma hsa-miR-30a level is significant for the diagnosis of LVH in hypertension patients.

**[Key words]** Left ventricular hypertrophy; Hypertension; MicroRNA-30a

我们的前期研究<sup>[1]</sup>表明,miR-30a 在心肌肥厚中起作用,但 miR-30a 是否可作为高血压左心室肥

厚(left ventricular hypertrophy, LVH)临床诊断的标志物,我们在人群中观察血浆 hsa-miR-30a 与 LVH

的关系,研究血浆 hsa-miR-30a 是否能作为高血压 LVH 患者临床诊断的标志物。

### 1 对象与方法

**1.1 研究对象** 选 2014-01 ~ 2014-12 的 150 例高血压住院患者,按心脏超声分为 LVH 组 73 例和非 LVH 对照组 77 例。LVH 患者入选标准:超声心动

图 IVSd 或/且 LVPWd  $\geq 1.2$  cm, EF > 40%。剔除:收缩性心力衰竭、肿瘤、急性期感染、BNP > 400 ng/L、帕金森氏病、特发性肺纤维化、休克、肝硬化等及近期应用过干扰素、苯巴比妥者。对照组与 LVH 组两组一般资料比较差异无统计学意义 ( $P > 0.05$ )。见表 1。

表 1 两组一般资料比较 [ $(\bar{x} \pm s)$ ,  $n$ ]

组别	例数	性别		年龄 (岁)	SBP (mmHg)	DBP (mmHg)	TC (mmol/L)	TG (mmol/L)	HDL-C (mmol/L)	LDL-C (mmol/L)	Cr ( $\mu$ mol/L)	GLU (mmol/L)	UA (mmol/L)
		男	女										
对照组	77	28	49	71.12 $\pm$ 11.24	155.27 $\pm$ 26.32	87.45 $\pm$ 15.17	5.03 $\pm$ 1.21	1.41 $\pm$ 0.58	1.11 $\pm$ 0.26	2.95 $\pm$ 0.92	118.64 $\pm$ 19.45	6.01 $\pm$ 0.98	348.34 $\pm$ 49.13
LVH 组	73	33	40	72.91 $\pm$ 11.41	157.86 $\pm$ 26.12	85.99 $\pm$ 16.39	5.01 $\pm$ 1.17	1.39 $\pm$ 0.49	1.19 $\pm$ 0.30	2.89 $\pm$ 0.76	115.34 $\pm$ 12.99	5.94 $\pm$ 1.23	333.27 $\pm$ 39.98
$t/\chi^2$	-	1.214	1.027	1.727	1.579	0.327	0.531	0.943	0.661	0.467	1.423	1.860	
$P$	-	0.271	0.373	0.083	0.134	0.953	0.637	0.376	0.589	0.873	0.165	0.058	

注:SBP,收缩压;DBP,舒张压;TC,总胆固醇;TG,总甘油三酯;HDL,高密度脂蛋白;LDL,低密度脂蛋白;Cr,肌酐;GLU,葡萄糖;UA,尿酸

**1.2 方法** 所有入选患者完善一般临床资料,次日空腹采血,空腹时 EDTA 抗凝管收集全血,获取血浆,检测 hsa-miR-30a。尿酸(UA)、甘油三酯(TG)、总胆固醇(TC)、低密度脂蛋白胆固醇(LDL)、高密度脂蛋白胆固醇(HDL)、血糖(GLU)等采用检验科全自动生化分析仪检测,由专人质控。心脏超声检查由富有经验的超声医师完成,并测定 IVSd、LVPWd。用 EDTA 抗凝管收集 3 ml 全血,室温放置 1 ~ 2 h。1 600 g, 4  $^{\circ}$ C, 离心 15 min, 获取上层的血浆;12 000 g, 4  $^{\circ}$ C, 离心 15 min, 获取上清放在 -80  $^{\circ}$ C 保存。取 300  $\mu$ l 血浆加入 1.2 ml TRIzol<sup>®</sup> LS Reagent 溶液及 2  $\mu$ l 人工合成的 cel-miR-39 (1 nM) 作为内参,迅速震荡摇匀 30 s,再加入 200  $\mu$ l 氯仿,强烈震荡 20 s 后静置 3 min,室温 14 000 g 离心 10 min, 获取上层水层;加入 10  $\mu$ l SiO<sub>2</sub> 吸附液,混匀,14 000 g 离心 5 min。弃上清,加入 75% 乙醇 400  $\mu$ l, 14 000 g 离心 5 min。弃上清,风干 5 min,加入 25  $\mu$ l DEPC 水溶解。10 mM dNTP、RNase inhibitor、miR-30a 逆转录引物、cel-miR-39 逆转录引物、5x buffer、M-MLV 加入到上溶液中,混匀后 42  $^{\circ}$ C 孵育 60 min  $\rightarrow$  85  $^{\circ}$ C 孵育 10 min。采用 SYBR Green PCR Master Mix 进行 qRT-PCR,反应参数:95  $^{\circ}$ C 5 min  $\rightarrow$  95  $^{\circ}$ C 15 s  $\rightarrow$  65  $^{\circ}$ C 15 s  $\rightarrow$  72  $^{\circ}$ C 32 s, 40 cycles。引物序列:hsa-miR-30a FP 为 5'ACACTCCAGCTGGGTGTAACATCCTCGACTG; cel-miR-39 为 5'ACACTCCAGCTGGGTCACCGGGTGTAATCAGCT; miRNARP 为 5'CTCAACTGGTGTCTGGGA。

**1.3 统计学方法** 应用 PASW Statistics 18.0 统计学软件进行数据处理,计量资料以均数  $\pm$  标准差 ( $\bar{x} \pm s$ )

表示,是否正态分布用 Shapiro-Wilk 检验,两组正态分布计量资料组间比较使用 Student's  $t$  检验;计数资料统计使用  $\chi^2$  检验;Pearson 相关分析用于分析 miR-30 与心脏大小的相关性,  $P < 0.05$  为差异有统计学意义。

### 2 结果

**2.1 LVH 患者血浆 hsa-miR-30a 表达的变化** 对照组与 LVH 组 IVSd、LVPWd、hsa-miR-30a 经 Shapiro-Wilk 检验,两组资料均为正态资料。与对照组比较, LVH 组患者 LA、LVDD、hsa-miR-30a 升高,  $P < 0.05$ 。见表 2。

表 2 两组患者室壁厚度与 hsa-miR-30a 测定值比较 ( $\bar{x} \pm s$ )

组别	例数	IVSd (cm)	LVPWd (cm)	hsa-miR-30a ( $2^{-\Delta\text{ct}} \times 10^4$ )
对照组	77	0.96 $\pm$ 0.08	0.94 $\pm$ 0.07	5.16 $\pm$ 0.31
LVH 组	73	1.26 $\pm$ 0.09	1.26 $\pm$ 0.09	14.28 $\pm$ 0.92
$t$	-	3.479	3.463	5.321
$P$	-	0.000	0.000	0.000

注:IVSd 为室间隔厚度;LVPWd 为左室后壁厚度。  $\Delta\text{ct} = \text{ct hsa-miR-30a} - \text{ct cel-39}$

**2.2 血浆 hsa-miR-30a 在 LVH 诊断中的敏感度和特异度** ROC 曲线下面积分析显示,患者血浆 hsa-miR-30a 水平的曲线下面积(AUC)为 0.932 (95% CI 0.879 ~ 0.967)。见图 1。PASW Statistics 18.0 统计软件分析特异性与敏感性,根据 ROC 曲线,计算 Youden 指数,以 Youden 指数最大的切点(0.841)为最佳临界点,确定 hsa-miR-30a 判断心脏肥厚的最佳临界点为 7.267 ( $2^{-\Delta\text{ct}} \times 10^4$ ),此时,敏感度和特异度分别为 94.5%、89.6%。

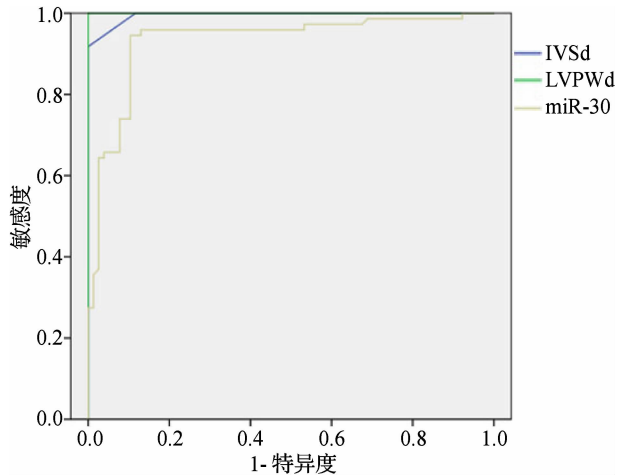


图1 ROC 曲线下面积图

**2.3 血浆 hsa-miR-30a 与室壁厚度的相关性** 将血浆 hsa-miR-30 与 IVSd 和 LVPWd 行 Pearson 相关性分析, hsa-miR-30 水平与 IVSd 和 LVPWd 均呈正相关, 相关系数  $R$  分别为 0.636 和 0.637,  $P$  值均为 0.000。

### 3 讨论

**3.1 microRNA (miRNA)** 是一类在生物进化过程中高度保守的非编码微小 RNA, 通过降解目的 mRNA 或抑制其翻译, 调节目的基因表达, 进而影响细胞或生物个体的生理病理状态<sup>[2]</sup>。目前报道的人类和褐家鼠 miR-30 家族有 miR-30a、miR-30b、miR-30c-1、miR-30c-2、miR-30d 和 miR-30e 六个亚型。2008 年 Mitchell 等<sup>[3]</sup>首次报道 miRNAs 在人的血浆中非常稳定。这是因为血浆中的 miRNA 被包在 exosomes 中。exosomes 是 50 ~ 90 nm 的小微粒, 在血浆中非常丰富。临床上, 活体心脏标本获得困难, 通过研究患者外周血浆 miRNA 水平可以获取心脏疾病病理生理过程的信息。所以, 对循环血 miRNA 用于诊断心血管疾病的研究亦有相继报道<sup>[4-6]</sup>。

**3.2 我们的前期研究<sup>[1]</sup>**显示, miR-30a 在心脏肥厚中起作用。我们试图观察高血压合并 LVH 时, 外周血浆 hsa-miR-30a 水平是否有改变。hsa-miR-30a 是否可作为高血压 LVH 患者临床诊断的标志物。本部分实验检测血浆 hsa-miR-30a 应用的是染料法, 而国外文献大部分是用 TaqMan 法, 后者更加准确, 但费用较前者高。我们检测 LVH 患者血浆 hsa-miR-30a 水平, 发现 LVH 患者较非 LVH 对照组患者相比, 外周血浆 hsa-miR-30a 水平上调, 为  $5.16 \pm 0.31 (2^{-\Delta\text{ct}} \times 10^4)$  vs  $14.28 \pm 0.92 (2^{-\Delta\text{ct}} \times 10^4)$ ,  $P <$

0.05。ROC 曲线显示, hsa-miR-30a 用于诊断 LVH 的 AUC 达到了 0.932 (95% CI 0.879 ~ 0.967)。血浆 hsa-miR-30a 水平用于诊断 LVH 有意义。hsa-miR-30a 判断心脏肥厚的最佳临界点为  $7.267 (2^{-\Delta\text{ct}} \times 10^4)$ , 此时, 敏感度和特异度分别为 94.5%、89.6%。患者血浆 hsa-miR-30a 的含量与 IVSd 和 LVPWd 均呈正相关。相关系数  $R$  值分别为 0.636 和 0.637,  $P < 0.05$ 。由于临床样本例数不足, 未进行 logistic 回归分析。我们没有机会获得高血压 LVH 患者心脏组织, 但是我们的前期研究中<sup>[1]</sup>, 心脏肥厚大鼠血浆 miR-30a 水平与心脏组织 miR-30a 水平相背离。故我们认为, 高血压 LVH 患者血浆 hsa-miR-30a 上调可能是因为 miR-30a 从心脏组织释放到外周循环血所致。关于这个假设的验证和 miR-30a 的转移途径值得进一步研究。而且, hsa-miR-30a 指标在临床中不难获取, 费用不高, 操作性强<sup>[7]</sup>。

综上所述, hsa-miR-30a 有可能成为高血压 LVH 患者的诊断标志物。我们设想, 补充外源性 miR-30a 有可能改善高血压 LVH 患者的心脏肥厚。倘若如此, 这给我们提供了干预 LVH 或心脏重构的新思路。

### 参考文献

- 1 Pan W, Zhong Y, Cheng C, et al. miR-30-regulated autophagy mediates angiotensin II-induced myocardial hypertrophy [J]. PLoS ONE, 2013, 8(1): e53950.
- 2 Maxwell EK, Campbell JD, Spira A, et al. SubmiRine: assessing variants in microRNA targets using clinical genomic data sets [J]. Nucleic Acids Res, 2015, 43(8): 3886-3898.
- 3 Mitchell PS, Parkin RK, Kroh EM, et al. Circulating microRNAs as stable blood-based markers for cancer detection [J]. Proc Natl Acad Sci U S A, 2008, 105(30): 10513-10518.
- 4 Martino F, Carlomosti F, Avitabile D, et al. Circulating miR-33a and miR-33b are up-regulated in familial hypercholesterolaemia in paediatric age [J]. Clin Sci (Lond), 2015, 129(11): 963-972.
- 5 Min PK, Chan SY. The biology of circulating microRNAs in cardiovascular disease [J]. Eur J Clin Invest, 2015, 45(8): 860-874.
- 6 Melman YF, Shah R, Danielson K, et al. Circulating microRNA-30d is associated with response to cardiac resynchronization therapy in heart failure and regulates cardiomyocyte apoptosis: a translational pilot study [J]. Circulation, 2015, 131(25): 2202-2216.
- 7 赵娟, 张小勇, 灯彩妹, 等. 超声检查肱动脉 FMD 和 sCD40L 对急性冠状动脉综合症的预测价值 [J]. 中国临床新医学, 2014, 7(9): 803-805.

[收稿日期 2016-01-22][本文编辑 杨光和]